

# Modifikasi *Spread Spectrum Watermarking* dari Cox Berbasiskan pada Enkripsi *Chaotic*

Rinaldi Munir, Bambang Riyanto, Sarwono Sutikno, Wiseto P. Agung

Sekolah Teknik Elektro dan Informatika, ITB, Bandung 40132

e-mail: rinaldi-m@stei.itb.ac.id

**Abstract:** Makalah ini memaparkan modifikasi algoritma *spread spectrum watermarking* yang diusulkan oleh Cox dengan penambahan fitur enkripsi pada watermark. Selain itu, tidak seperti metode Cox yang watermark-nya berupa barisan nilai acak yang tidak bermakna, maka pada modifikasi ini watermark yang digunakan adalah citra logo hitam-putih. Penyisipan dan pendeteksian watermark dilakukan pada ranah *Discrete Cosine Transform (DCT)*. Untuk meningkatkan keamanan algoritma watermarking, watermark dienkripsi terlebih dahulu. *Chaotic map* dioperasikan dua kali, pertama untuk membangkitkan barisan bit yang digunakan untuk mengenkripsi watermark, kedua untuk menghasilkan barisan nilai acak yang dimodulasikan dengan watermark. Simulasi dengan *MATLAB* menunjukkan bahwa teknik ini kokoh terhadap serangan seperti kompresi *JPEG*, tetapi kurang kokoh terhadap *cropping*, *resizing*, dan penambahan derau.

**Kata Kunci:** *spread spectrum*, *watermarking*, *Cox*, enkripsi, *chaotic map*.

## 1. PENDAHULUAN

Representasi digital dari produk multimedia seperti berkas audio, citra, dan video menjadi populer karena data digital mudah untuk digandakan (*copy*) dan didistribusikan. Namun, penggandaan dan pendistribusian yang tidak berizin menimbulkan masalah terhadap hak atas kekayaan intelektual (HAKI). Permasalahan ini dapat diatasi dengan menggunakan *digital watermarking*. *Digital watermarking* adalah teknik untuk menyisipkan informasi yang menyatakan label kepemilikan (disebut *watermark*) ke dalam data digital. *Digital watermarking* mempunyai banyak aplikasi, antara lain untuk bukti kepemilikan, otentikasi, perlindungan *copyright*, *fingerprinting*, dan *tamper proofing*. Persyaratan umum *watermarking* adalah: 1) *imperceptible*: *watermark* tidak dapat dipersepsi secara inderawi, 2) *robustness*: kokoh terhadap serangan yang dapat merusak atau menghapus *watermark*, 3) *secure*: hanya pihak yang mempunyai otoritas yang dapat mengakses *watermark*.

Penyisipan *watermark* ke dalam citra digital umumnya

dilakukan dalam dua ranah, yaitu ranah spasial dan ranah *transform*. Penyisipan dalam ranah spasial menyisipkan *watermark* secara langsung ke dalam *pixel* citra. Keuntungan cara ini adalah murah (cepat) tetapi umumnya *watermark* tidak kokoh terhadap manipulasi yang dilakukan kepada citra.

Kekokohan *watermark* dapat diperoleh jika penyisipan *watermark* dilakukan dalam ranah *transform*, artinya *watermark* disisipkan ke dalam koefisien transformasi. Kasus transformasi yang umum digunakan adalah *DFT (Discrete Fourier Transform)*, *DCT (Discrete Cosine Transform)*, dan *DWT (Discrete Wavelet Transform)*. Kekokohan terhadap manipulasi *cropping* dapat diperoleh jika *watermark* disebar (*spread*) di antara seluruh komponen frekuensi. Kekokohan terhadap operasi geometri (seperti penskalaan, rotasi, atau pergeseran) dapat diperoleh dalam ranah *transform* karena ranah *transform* dapat dirancang sedemikian sehingga *invariant* terhadap sekumpulan transformasi tertentu [1]. Misalnya, metode *watermarking* yang menggunakan transformasi *DFT* kokoh terhadap operasi pergeseran karena pergeseran dalam ranah spasial tidak mempunyai pengaruh terhadap magnitudo *DFT*.

Kebanyakan metode *image watermarking* di dalam ranah *transform* menggunakan teknik *spread spectrum*. Istilah "*spread spectrum*" muncul karena penyisipan *watermark* ke dalam citra menggunakan teknik yang analog dengan komunikasi *spread spectrum*, yaitu *watermark* disebar (*spread*) di antara banyak komponen frekuensi.

Gagasan *spread spectrum watermarking* pertama kali diperkenalkan oleh Cox *et al* [2]. Pada metode Cox, *watermark* disebar ke dalam sekumpulan komponen frekuensi yang signifikan secara persepsi (*perceptually significant region*). Penyerang yang mencoba untuk menghapus *watermark* dari citra harus berhadapan dengan komponen tersebut, sebab menghapus *watermark* dapat menyebabkan kerusakan yang terlihat pada citra. Menyisipkan *watermark* ke dalam komponen frekuensi tersebut dapat mendistorsi kualitas citra itu sendiri, oleh karena itu harus dipilih parameter yang menyeimbangkan antara *robustness* dengan *invisibility*.

*Watermark* yang digunakan oleh Cox adalah barisan

nilai yang dipandang sebagai sinyal derau-semu (*pseudo-noise*) dan dimodulasi dengan koefisien *spread spectrum*. *Watermark* ini juga sekaligus berlaku sebagai kunci penyisipan dan pendeteksian *watermark*.

Pada beberapa sistem *watermarking*, *watermark* tidak selalu berupa barisan nilai acak yang tidak memiliki persepsi apa-apa tetapi diinginkan *watermark* berupa gambar/logo atau informasi yang menunjukkan identitas pemilik citra. Gambar banyak dipilih sebagai *watermark* karena mudah dipersepsi secara visual.

Makalah ini menyajikan metode *image watermarking* berbasis *chaos* yang diadaptasi dari metode yang diusulkan oleh Cox. *Chaos* diterapkan karena ia memiliki dua karakteristik penting untuk meningkatkan keamanan, yaitu sensitivitas pada kondisi awal dan sebarannya yang merata pada seluruh ruang yang ada [3]. Karakteristik ini cocok untuk enkripsi dan *watermarking*. Fungsi *chaos* di dalam *watermarking* digunakan untuk membangkitkan barisan bilangan acak. Barisan bilangan acak di dalam metode ini digunakan untuk mengenkripsi *watermark* dan memodulasi *watermark* menjadi barisan bilangan riil sehingga masih tetap relevan disisipkan dengan metode Cox. *Watermark* dienkripsi sebelum disisipkan untuk memperoleh *watermarking* yang lebih aman.

## 2. ALGORITMA SPREAD SPECTRUM

*Watermark* ( $w$ ) yang disisipkan oleh Cox adalah barisan bilangan riil yang mempunyai distribusi normal atau Gaussian,  $N(0, \sigma^2)$ , yang dalam hal ini distribusi normal mempunyai rerata 0 dan variansi  $\sigma^2$ . *Watermark* berdistribusi Gaussian dipilih karena ia lebih kokoh terhadap perubahan dibandingkan dengan menggunakan distribusi *uniform* [4]. *Watermark* juga berlaku sebagai kunci, karena hanya pemilik citra yang mengetahui *watermark* ini. *Watermark* harus disisipkan di dalam komponen sinyal yang signifikan secara persepsi (*perceptually significant region*), meskipun perubahan pada komponen ini dapat menyebabkan kerusakan yang tampak pada citra.

### 2.1 Penyisipan *Watermark*

Langkah-langkah penyisipan *watermark* ke dalam citra digital adalah sebagai berikut:

1. Citra asli dianggap sebagai sebuah blok, lalu ditransformasi ke dalam ranah frekuensi dengan menggunakan *DCT*. Transformasi citra  $I(m, n)$  yang berukuran  $N \times M$  dihitung dengan menggunakan rumus:

$$C(p, q) = \alpha_p \alpha_q \sum_{m=0}^{M-1} \sum_{n=0}^{N-1} I(m, n) \cos \frac{\pi(2m+1)p}{2M} \cos \frac{\pi(2n+1)q}{2N} \quad (1)$$

yang dalam hal ini,

$$0 \leq p \leq M-1; 0 \leq q \leq N-1 \quad ;$$

$$\alpha_p = \begin{cases} 1/\sqrt{M}, & p=0 \\ \sqrt{2/M}, & 1 \leq p \leq M-1 \end{cases} \quad ;$$

$$\alpha_q = \begin{cases} 1/\sqrt{N}, & q=0 \\ \sqrt{2/N}, & 1 \leq q \leq N-1 \end{cases}$$

2. Temukan komponen frekuensi yang signifikan secara persepsi. Cox menggunakan 1000 koefisien terbesar. Inilah yang dinamakan *frequency spreading*.
3. *Watermark*  $W = w_1, w_2, \dots, w_n$  dibangkitkan sedemikian sehingga  $w_i$  mempunyai distribusi  $N(0, 1)$ , yaitu distribusi normal dengan rerata 0 dan variansi 1. *Watermark* disisipkan ke dalam koefisien *DCT* dengan cara mengubah komponen frekuensi  $v_i$  dari citra asal menjadi  $\hat{v}_i$  dengan menggunakan persamaan:

$$\hat{v}_i = v_i(1 + \alpha w_i) \quad (2)$$

yang dalam hal ini  $\alpha$  adalah faktor skalar. Cox memilih  $\alpha = 0.1$ .

4. Lakukan transformasi *DCT* inversi terhadap hasil langkah 4 untuk menghasilkan citra ber-*watermark*. Persamaan *DCT* inversi adalah:

$$I(m, n) = \sum_{m=0}^{M-1} \sum_{n=0}^{N-1} \alpha_p \alpha_q C(p, q) \cos \frac{\pi(2m+1)p}{2M} \cos \frac{\pi(2n+1)q}{2N} \quad (3)$$

### 2.2 Ekstraksi *Watermark*

Proses ekstraksi *watermark* membutuhkan citra asal, citra ber-*watermark*, dan *watermark* asal untuk perbandingan. Langkah-langkah ekstraksi *watermark* adalah sebagai berikut:

1. Citra ber-*watermark* dianggap sebagai sebuah blok, lalu ditransformasi ke dalam ranah frekuensi dengan menggunakan *DCT*.
2. Lakukan transformasi *DCT* terhadap citra asli (yang belum diberi *watermark*).
3. Selisih langkah 1 dan 2 adalah *watermark* yang diekstraksi,  $W^*$ , dengan kata lain  $W^*$  diperoleh dengan menghitung  $w_i^*$  kembali berdasarkan persamaan 2 menghasilkan persamaan berikut:

$$w_i^* = \frac{\hat{v}_i - v_i}{\alpha} \quad (4)$$

4. *Watermark*  $W^*$  dibandingkan dengan *watermark* asli  $W$  dengan menggunakan korelasi berikut:

$$\text{sim}(W, W^*) = \frac{W \cdot W^*}{\sqrt{W \cdot W^*}} \quad (5)$$

Untuk memutuskan apakah  $W$  dan  $W^*$  sama, digunakan nilai ambang  $T$ , yaitu keduanya sama jika  $\text{sim}(W, W^*) > T$ .

Kelemahan metode Cox adalah dibutuhkan citra asal untuk proses ekstraksi, sehingga metode ini tergolong ke dalam kelompok *non-blind watermarking*. Meskipun demikian, menurut penulisnya, *watermark* kokoh terhadap operasi pengolahan citra yang umum seperti konversi analog-ke-digital dan digital-ke-analog, *dithering*, *resampling*, kompresi, rotasi, translasi, dan pensakalaan [1, 4].

### 3. CHAOS DAN WATERMARKING

Teori *chaos* berasal dari teori sistem yang memperlihatkan kemunculan yang tidak teratur, meskipun sebenarnya teori ini digunakan untuk menjelaskan kemunculan data acak. Meskipun sistem *chaos* muncul dengan ketidakteraturan yang tinggi, tetapi ia deterministik artinya dimungkinkan membangkitkan nilai-nilai *chaos* dengan kepastian. Hal ini adalah fitur yang menjanjikan untuk komunikasi secara aman.

Karakteristik yang umum di dalam teori *chaos* adalah kepekaannya terhadap perubahan kecil nilai awal (*sensitive dependence on initial condition*). Kepekaan ini berarti bahwa perbedaan kecil pada nilai awal fungsi, setelah fungsi diiterasi sejumlah kali, akan menghasilkan perbedaan yang sangat besar pada nilai fungsinya.

Salah satu fungsi *chaos* sederhana adalah persamaan logistik (*logistic map*) yang biasa dipakai di dalam ekologi untuk mensimulasikan pertumbuhan spesies di dalam ekosistem. Persamaan logistik dinyatakan sebagai

$$x_{i+1} = r x_i (1 - x_i) \quad (6)$$

dengan  $x_0$  sebagai nilai awal iterasi. Daerah asal  $x$  adalah dari 0 sampai 1. Konstanta  $r$  menyatakan laju pertumbuhan fungsi, yang dalam hal ini  $0 \leq r \leq 4$ . Konstanta  $r$  juga menyatakan bagian nirlanjar dari persamaan. Ketika  $r$  meningkat, maka kenirlanjaran sistem juga naik. Ketika  $r = 4$ , iterasi bergantung sepenuhnya pada nilai awal  $x_0$  dan nilai-nilai yang dihasilkan muncul acak meskipun sistem ini deterministik [5]. Nilai-nilai *chaos* yang dihasilkan bertipe bilangan riil dan berada di dalam rentang yang lengkap antara 0 dan 1.

Beberapa tahun terakhir teori *chaos* banyak digunakan di dalam *digital watermarking*. *Chaos* digunakan khususnya sebagai pembangkit bilangan acak. Barisan

nilai *chaos* digunakan langsung sebagai *watermark* [3] atau menyatakan lokasi penyisipan *watermark* di dalam citra [6]. Di dalam metode ini barisan nilai *chaos* digunakan untuk mengenkripsi *watermark* sebelum disisipkan dan memodulasi *watermark* yang berupa citra biner menjadi barisan nilai riil acak yang siap disisipkan ke dalam koefisien hasil transformasi.

### 4. METODE YANG DIUSULKAN

Metode *image watermarking* berbasiskan pada enkripsi *chaos* yang dipaparkan di dalam makalah ini diadaptasi sepenuhnya dari metode Cox. Perbedaannya, di dalam metode ini *watermark* dienkripsi sebelum disisipkan dengan barisan nilai *chaos*. Selain itu, *watermark* adalah berupa citra biner berupa logo atau gambar bermakna lainnya (di dalam [1] *watermark* adalah barisan nilai acak yang mempunyai distribusi Gaussian). Fungsi *chaos* yang digunakan adalah persamaan logistik seperti yang telah dijelaskan sebelumnya.

Untuk mengenkripsi *watermark* ( $w$ ) yang berupa citra biner, maka persamaan logistik dengan nilai awal  $x_0$  diterapkan untuk membangkitkan barisan nilai *chaos* sebanyak elemen *pixel* citra biner. Jika citra biner berukuran  $32 \times 32$  *pixel*, maka panjang barisan nilai *chaos* adalah  $64 \times 64 = 1024$ . Karena persamaan logistik menghasilkan nilai-nilai bertipe riil ( $x_i$ ), maka nilai-nilai riil ini ditransformasi ke nilai biner dengan fungsi pengambangan berikut:

$$g(x_i) = \begin{cases} 0, & x_i \leq t \\ 1, & x_i > t \end{cases} \quad (7)$$

yang dalam hal ini nilai ambang  $t$  dapat diambil dari nilai rata-rata seluruh barisan *chaos* yang telah dibangkitkan.

Misalkan  $\mathbf{b}$  adalah barisan nilai *chaos* hasil persamaan (7), maka *watermark*  $\mathbf{w}$  dienkripsi dengan cara meng-*xor*-kannya dengan  $\mathbf{b}$ :

$$\mathbf{w}' = \mathbf{w} \oplus \mathbf{b} \quad (8)$$

Selanjutnya, *watermark*  $\mathbf{w}'$  yang elemen-elemennya terdiri dari 0 dan 1 dikonversi menjadi nilai bipolar (-1 +1) dengan cara mengkonversi setiap 0 menjadi -1 sedangkan bit 1 tetap.

Persamaan logistik dengan nilai awal  $y_0$  (sebaiknya  $x_0 \neq y_0$ ) kembali diterapkan untuk menghasilkan barisan nilai *chaos* kedua,  $\mathbf{y}$ . Barisan nilai *chaos* yang bertipe bilangan riil ini kemudian dikalikan dengan *watermark*  $\mathbf{w}'$ :

$$\mathbf{w}'' = \mathbf{w}' \cdot \mathbf{y} \quad (9)$$

Watermark  $w$ '' inilah yang dikalikan dengan persamaan (2) di atas untuk memperoleh koefisien frekuensi ter-watermark. Langkah-langkah selanjutnya sama seperti pada metode Cox yang asli.

Proses ekstraksi watermark Untuk merekonstruksi watermark pada proses ekstraksi, watermark dari hasil persamaan (4) di-xor-kan kembali dengan  $y$  untuk memperoleh watermark terekstraksi:

$$w^{**} = w \oplus y \quad (10)$$

Jadi, pada proses ekstraksi watermark hanya dibutuhkan satu barisan chaos saja. Selanjutnya  $w^{**}$  dibandingkan dengan  $w$  untuk verifikasi.

### 5. HASIL EKSPERIMEN DAN PEMBAHASAN

Modifikasi metode *spread spectrum watermarking* yang berbasiskan pada enkripsi *chaotic* diprogram dengan MATLAB 7, selanjutnya citra hasil watermarking diuji dengan beberapa serangan. Serangan yang umum dilakukan terhadap citra ber-watermark sebenarnya adalah operasi pengolahan citra yang umum dilakukan seperti kompresi JPEG, penambahan derau, *resize*, dan *cropping*. Citra uji yang digunakan adalah citra *greyscale* 'lada' dengan format *bitmap* dan berukuran  $256 \times 256$ , sedangkan watermark yang disisipkan adalah citra 'alpha' yang bertipe biner dan berukuran  $64 \times 64$  (Gambar 2a). Fungsi *chaos* yang digunakan adalah *logistic map* dengan  $r = 4.0$ , nilai awal barisan *chaos* (kunci pertama) adalah  $x_0 = 0.2785$ , dan nilai awal barisan *chaos* kedua adalah  $y_0 = 0.4368$ . Parameter  $\alpha$  yang dipilih untuk penyisipan watermark adalah 0.1.



Citra 'lada' ( $256 \times 256$ )  
(a)



Watermark(64 x 64)



Citra ber-watermark ekstraksi



Watermark

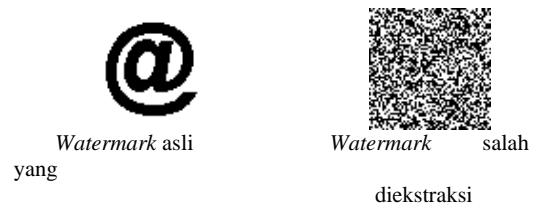
(b)

Gambar 2. Penyisipan dan pengestraksian watermark

Gambar 2(b) memperlihatkan kasus tidak ada serangan yang dilakukan terhadap citra ber-watermark. Citra ber-watermark hampir tidak dapat dibedakan dengan citra asalnya. Watermark yang diekstraksi dari citra tersebut sama dengan watermark asal.

#### 5.1 Pengaruh Perubahan Nilai Awal Chaos

Karena *chaos* peka terhadap nilai awal, maka perubahan sedikit saja pada nilai awal menghasilkan kesalahan yang signifikan pada saat pengestraksian



Gambar 3. Watermark asli dan watermark salah yang diekstraksi dengan  $x_0$  yang diubah sedikit saja.

watermark. Gambar 3 memperlihatkan watermark asli dan watermark hasil ekstraksi bila nilai awal  $x_0$  yang digunakan pada pendeteksian diubah sedikit dari 0.2785 menjadi 0.2785001. Terlihat watermark hasil ekstraksi berupa pola acak yang tidak bermakna.

#### 5.2 Kekokohan Terhadap Kompresi JPEG

Untuk melihat kekokohan (*robustness*) watermark terhadap pengaruh kompresi (*noise*), maka di dalam eksperimen ini digunakan program *Jasc PaintShopPro* untuk melakukan konversi format citra ber-watermark dari *bitmap* ke *jpeg* dengan *quality* 100%. Selanjutnya, citra dalam format *jpeg* dikembalikan lagi ke format *bitmap* untuk digunakan pada waktu pendeteksian watermark. Hasil pendeteksian memperlihatkan bahwa kompresi JPEG memang merusak watermark (Gambar 4), tetapi watermark tersebut masih dapat dikenali dengan baik.



Citra ber-watermark dalam format JPEG



Watermark ekstraksi

Gambar 4. Pengujian kompresi JPEG terhadap citra ber-



Citra ber-*watermark* yang telah ditambah derau sebesar 1%

**Gambar 5.** Pengujian penambahan derau *salt and peppers* 1% terhadap citra ber-*watermark*

### 5.2 Kekokohan Terhadap Penambahan Derau

Program *Jasc PaintShopPro* kembali digunakan untuk menambahkan derau (*salt and peppers*) sebesar 1% pada citra ber-*watermark*. Hasil pendeteksian memperlihatkan bahwa *watermark* yang diekstraksi memang mengalami kerusakan parah tetapi masih dapat dikenali (Gambar 5).

### 5.3 Kekokohan Terhadap *Resize*

Citra ber-*watermark* ( $256 \times 256$ ) diperkecil menjadi 80% dari ukuran semula ( $205 \times 205$ ) menggunakan *Jasc PaintShop Pro*. Untuk mendeteksi *watermark*, citra yang sudah diperkecil tadi dikembalikan lagi ke ukuran semula. Hasil pendeteksian memperlihatkan bahwa *watermark* mengalami kerusakan tetapi sebagian masih dapat dikenali (Gambar 6). Eksperimen dengan pengecilan hingga 50% membuat *watermark* hasil ekstraksi lebih sulit dikenali.

### 3.5 Kekokohan Terhadap *Cropping*

Operasi *cropping* pada pengolahan citra umumnya



Citra ber-*watermark* yang telah diperkecil menjadi 80%

**Gambar 6.** Pengujian *resize* sebesar 50% terhadap citra ber-*watermark*

bertujuan untuk mengambil bagian tertentu dari gambar. Pada pengujian ini, citra ber-*watermark* dipotong sekitar 15% pada bagian bawah. Bagian yang dipotong diisi dengan *pixel-pixel* yang berwarna



Citra ber-*watermark* yang ekstraksi yang telah dipotong 15%

**Gambar 7.** Pengujian *cropping* sebesar 30% terhadap citra ber-*watermark*

hitam. Hasil pendeteksian menunjukkan bahwa *watermark* yang diekstraksi mengalami kerusakan parah dan sangat sulit dikenali (Gambar 7).

## 4. KESIMPULAN

Di dalam makalah ini telah disajikan modifikasi metode *spread spectrum watermarking* dari Cox dengan penambahan fitur enkripsi. *Watermark* dienkripsi dengan barisan nilai *chaos* sebelum disisipkan ke dalam citra. Selain itu, *watermark* adalah berupa citra biner, berbeda dengan metode Cox yang asli dimana *watermark* adalah barisan nilai acak yang tidak memiliki persepsi apapun. Hasil pengujian menunjukkan bahwa citra ber-*watermark* tidak dapat dibedakan dengan citra asalnya. Pengujian dengan bermacam-macam serangan terhadap citra ber-*watermark* menunjukkan bahwa metode *watermarking* yang dikembangkan ini kokoh terhadap serangan seperti kompresi *JPEG*, namun kurang kokoh terhadap *cropping*, *resizing*, dan penambahan derau. Kesimpulan ini agak berbeda dengan kesimpulan Cox karena pengukuran *robustness* pada metode Cox menggunakan ukuran korelasi berdasarkan nilai ambang tertentu, sedangkan pengukuran *robustness* di dalam makalah ini berdasarkan pengamatan visual semata. Penggunaan *chaos* untuk mengenkripsi *watermark* bertujuan untuk meningkatkan keamanan metode sehingga metode tetap aman terhadap perubahan kecil pada nilai awal.

Kelemahan metode ini adalah diperlukannya citra asal untuk melakukan ekstraksi *watermark*.

## REFERENSI

- [1] Mauro Barni dan Franco Bartolini, *Watermarking Systems Engineering*, Marcel Dekker Publishing, 2004.
- [2] Ingemar J. Cox, dkk, "Secure Spread Spectrum Watermarking for Multimedia", *IEEE Trans. On Image Processing*, Vol. 6, No. 12, Dec 1997, pp.1673-1687.
- [3] Zhao Dawei, dkk, "A Chaos-Based Robust

- Wavelet-Dmain Watermarking Algorithm*”,  
Jurnal Chaos Solitons and Fractals 22  
(2004) 47-54.
- [4] Saraju P. Mohanty, “*Digital Watermarking: A Tutorial Review*”, Dept. of Computer Science and Engineering, University of South Florida.
- [5] R. Clarck Robinson, *An Introduction to Dynamical Systems, Continuous and Discrete*, Pearson Prentice Hall, 2004.
- [6] Hongxia Wang, dkk, “*Public Watermarking Based on Chaotic Map*”, IEICE Trans. Fundamentals, Vol. E87-A, No. August 2004.